

B. H. МУХА
**СГУЩЕНИЕ ГЕОДЕЗИЧЕСКОГО ОБОСНОВАНИЯ
 ДВОЙНЫМИ ОБРАТНЫМИ
 ГИРОСКОПИЧЕСКИМИ ЗАСЕЧКАМИ**

Двойная обратная угловая засечка (задача Ганзена) к настоящему времени достаточно хорошо изучена [1—3]. Предложенные методы решения позволяют быстро вычислить координаты определяемых пунктов. Несмотря на простоту решения, данный способ привязки не обеспечивает надежного контроля результатов измерений. Поэтому для проверки правильности определения положе-

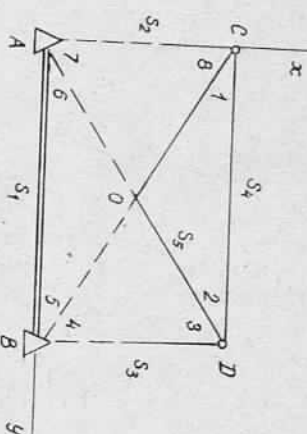


Схема сети.

ния пунктов рекомендуется измерять расстояние между ними или направление на третий исходный пункт, что связано с определенными затратами времени. Однако, по выражению В. В. Попова, «совершенно непригодные результаты может дать некритическое применение метода, когда опознак привязывается посредством задачи Ганзена с контрольным измерением расстояния между вспомогательной точкой и опознаком» [3, с. 62].

Использование гиротелодолитов для определения положения двух пунктов по двум исходным позволяет устранить эти недостатки в задаче Ганзена, так как в данном случае можно контролировать результаты измерений возникающими дополнительными условиями. Если измерены дирекционные углы α_{CA} , α_{CB} , α_{CD} , α_{DA} , α_{DB} , α_{DC} , то в сети (см. рисунок) возникают два условных уравнения: полное и дирекционных углов.

Условное уравнение дирекционных углов в поправках:

$$(\alpha_{CD}) - (\alpha_{DC}) + W_1 = 0, \quad (1)$$

где (α_{CD}) и (α_{DC}) — поправки в измеренные дирекционные углы; $W_1 = \alpha_{CD} - \alpha_{DC} \pm 180^\circ$ — свободный член; α_{CD} , α_{DC} — измеренные значения дирекционных углов.

Если в качестве полосы выбрать точку 0 (см. рисунок), то для данной сети полное условие в поправках запишем

$$\begin{aligned} & \delta_1 + \delta_5 + \delta_4 + \delta_8)(\alpha_{CB}) - \delta_1(\alpha_{CD}) + (\delta_3 + \delta_7 + \delta_2 + \delta_6)(\alpha_{DA}) - \\ & - (\delta_3 + \delta_4)(\alpha_{DB}) - (\delta_7 + \delta_8)(\alpha_{CA}) - \delta_2(\alpha_{DC}) + W_2 = 0, \end{aligned} \quad (2)$$

где δ_i — изменение логарифма синуса для угла при увеличении угла на $1''$.
 В уравнении (2)

$$W_2 = \lg \frac{\sin 1 \sin 3 \sin 5 \sin 7}{\sin 2 \sin 4 \sin 6 \sin 8}. \quad (3)$$

Здесь измеренные углы выражаются через измеренные дирекционные углы так:

$$1 = \alpha_{CB} - \alpha_{CD}, \quad 2 = \alpha_{DC} - \alpha_{DA}, \quad 3 = \alpha_{DA} - \alpha_{DB}, \quad 4 = \alpha_{DB} - \alpha_{CB}, \quad (4)$$

Для оценки точности стороны S_4 и координат пункта D составлены весовые функции, которые в системе координат XU (см. рисунок) имеют вид

$$f_S = -(\delta_3 + \delta_6)(\alpha_{DA}) + (\delta_4 + \delta_5)(\alpha_{DB}) - (\delta_4 + \delta_1)(\alpha_{CB}) + \delta_1(\alpha_{CD}); \quad (5)$$

$$f_x = -\frac{S_3}{\rho''} (\operatorname{ctg} 3 + \operatorname{ctg} 6)(\alpha_{DA}) + \frac{S_3}{\rho''} \operatorname{ctg} 3 (\alpha_{DB}); \quad (6)$$

$$f_y = \frac{S_3}{\rho''} (\alpha_{DB}). \quad (7)$$

В формулах (6), (7) $\rho'' = 206265''$.

Используя теорию строгого уравнивания коррелатным методом, получаем обратные веса уравненных значений стороны S_4 и координат пункта D .

Ниже приведены выражения для определения обратных весов уравненных величин в типовых фигурах:

квадрат

$$\frac{1}{P_{JS}} - 2\delta_{45}^2, \quad \frac{1}{P_{Jx}} = \frac{55S_1^2}{21\rho''^2}, \quad \frac{1}{P_{Jy}} = \frac{19S_1^2}{21\rho''^2}; \quad (8)$$

прямоугольник

$$\frac{1}{P_{JS}} = \frac{1}{2}(5\delta_1^2 + 12\delta_3^2 + 8\delta_1\delta_3) - \frac{1}{k}(5\delta_1^2 + 8\delta_3^2 + 8\delta_1\delta_3)^2,$$

$$\frac{1}{P_{Jx}} = \frac{S_1^2 \operatorname{ctg}^2 3}{\rho''^2} \left\{ 2 \operatorname{ctg}^2 3 + \operatorname{tg}^2 3 + 2 - \frac{4}{k} \{(\delta_1 + 2\delta_3)\operatorname{ctg} 3 + (\delta_1 + \delta_3 \operatorname{tg} 3)^2\} \right\},$$

$$\frac{1}{P_{Jy}} = \frac{S_1^2 \operatorname{ctg}^2 3}{\rho''^2} \left\{ 1 - \frac{4\delta_3^2}{k} \right\},$$

где $k = 2\delta_1^2 + 8\delta_3^2 + 8(\delta_1 + \delta_3)^2$,

ромб

$$\frac{1}{P_{JS}} = \frac{1}{2}(11\delta_1^2 + 10\delta_2^2 + 4\delta_1\delta_2) - \frac{1}{2k}(19\delta_1^2 + 18\delta_2^2 + 5\delta_1\delta_2)^2, \quad (9)$$

$$\frac{1}{P_{f_x}} = \frac{S_1^2 \operatorname{ctg}^2 3}{\rho''^2} \left\{ 5 - \frac{2(\delta_1 - 9\delta_2)^2}{k} \right\},$$

$$\frac{1}{P_{f_y}} = \frac{S_1^2}{\rho''^2} \left\{ 1 - \frac{2(\delta_1 + \delta_2)^2}{k} \right\}, \quad (10)$$

где $k = 376^2 + 376^2 + 106\delta_2$.

Зная обратные веса, можно найти средние квадратические по-грешности уравненных величин из выражений

$$m_{tg S} = m_a \sqrt{\frac{1}{P_{f_S}}}; \quad \frac{m_S}{S} = \frac{m_{tg S}}{\mu \cdot 10^6}; \quad (11)$$

$$m_x = m_a \sqrt{\frac{1}{P_{f_x}}}, \quad m_y = m_a \sqrt{\frac{1}{P_{f_y}}}, \quad M = \sqrt{m_x^2 + m_y^2}. \quad (12)$$

В формулах (11) и (12) $\mu = 0,43429$ — модуль десятичных логарифмов, m_a — ошибка единицы веса, получаемая из уравнения.

В табл. 1 и 2 приведены результаты оценки точности наиболее

Показатели точности стороны S_4 и пункта D
в засечках прямоугольной формы

Таблица 1

Параметр	Номер фигуры			
	1	2a	2b	2b
Наибольшая сторона S_5 , км	4,2	6,0	3,7	3,5
Исходная сторона S_1 , км	3,0	3,0	3,0	3,0
Угол $3^\circ \dots$	45	30	20	17
Угол $1^\circ \dots$	45	60	70	60
$m_s : S$	1 : 29 000	1 : 17 000	1 : 10 000	1 : 50 000
m_x , см	11,77	25,84	58,70	7,47
m_y , см	6,92	11,42	17,66	4,14
M , см	13,65	28,25	61,30	8,54

Примечание: 1 — квадрат; 2a, 2b — прямоугольники, вытянутые перпендикулярно базису; 2b — прямоугольник, вытянутый вдоль базиса.

Показатели точности стороны и пункта
в засечках ромбической формы

Параметр	Ромб	
	Ромб	Ромб
Наибольшая сторона S_5 , км	5,2	5,6
Исходная сторона S_1 , км	3,0	3,0
Угол $3^\circ \dots$	30	20
Угол $1^\circ \dots$	60	70
$m_s : S$	1 : 24 000	1 : 18 000
m_x , см	13,10	16,97
m_y , см	6,98	7,03
M , см	14,84	18,37

слабой стороны S_4 и координат пункта D . В них даны параметры исследуемых сетей. Преобразование выполняли по формулам (8) — (12) при условии $S_1 = 3,0$ км и $m_a = 5''$.

Анализируя результаты, приведенные в табл. 1,2, можно утверждать, что при точности ориентирования $m_a = 5''$ в прямоугольных или ромбических сетях двойных обратных гирокомпасических засечек привязка пунктов выполняется с точностью, удовлетворяющей требованиям триангуляции 1 разряда, если определяемый пункт удален от исходного не более чем на 5 км, а угол засечки — не менее 30° .

1. Коробков С. А. О способах решения задачи Ганзена // Геодезия и картография. 1974. № 4. С. 37. 2. Косаченко А. А. О применении заложи Ганзена // Тр. Омского с.-х. ин-та 1958. Вып. 2. С. 239—246. 3. Попов В. В. К вопросу о применении аэростанков и геодезической опорной сети // Тр. НИИГАНК. 1947. Г. 1. С. 62—72.

Статья поступила в редакцию 15.01.86

ОПРЕДЕЛЕНИЕ ЧАСТНЫХ УГЛОВ РЕФРАКЦИИ ПО ДРОЖАНИЯМ ЦЕНТРОВ ЛАЗЕРНОГО ПЯТИНА И УГЛОВЫМ КОЛЕБАНИЯМ ЦЕЛЕЙ

УДК 528.3

А. Л. ОСТРОВСКИЙ, Н. И. КРАВЦОВ, С. С. ПЕРИЙ

Один из наиболее точных методов учета вертикальной рефракции при тригонометрическом нивелировании — способ одновременных взаимообратных наблюдений. Как известно, в результате таких измерений можно вычислить угол полной рефракции r_p по формуле [3]

$$r_p = 180^\circ - z_1 z_2 + \rho'' \frac{S}{R_3} - \frac{\rho''}{S} [(l_1 + l_2) - (i_1 + i_2)] + u_2 - u_1, \quad (1)$$

где Z_1 и Z_2 — измеренные зенитные расстояния на соответствующих пунктах; S — расстояние между пунктами наблюдений; R_3 — радиус кривизны Земли; l_1 и l_2 — высоты визирных пелей; i_1 и i_2 — высоты инструментов; u_1 и u_2 — уклоны отвесных линий на пунктах; $\rho'' = 206265$.

Угол полной рефракции r_p состоит из частных и является их суммой

$$r_p = r_1 + r_2. \quad (2)$$

Частный угол вертикальной рефракции проще всего определить, приняв гипотезу о равенстве взаимообратных углов:

$$r_1 = r_2 = r_m/2. \quad (3)$$

Как показали многолетние исследования, такая гипотеза справедлива только в крайне редких случаях. Для такого равенства